

1 Physikalische Grundlagen

$$P = M \cdot \omega$$
$$\omega = 2\pi n$$

2 Lastganglinien

T_n : Nennbetriebsdauer
 T_a Ausnutzungsadauer
 T_{ben} : Benutzungsdauer
 P_{max} : Höchstalast
 $W = \int_0^{T_n} P(t) \, dt = P_{mittel} T_n = P_n T_a = P_{max} T_{ben}$

3 Wechsel-/Drehstromsystem

3.1 Wechselstromsystem

Phasenwinkel $\varphi = \varphi_u - \varphi_i$ Kreisfrequenz: $\omega = 2\pi f$

Physikalische Zeitsignale:
 $u(t) = \hat{u} \cos(\omega t + \varphi_u) = U\sqrt{2} \cos(\omega t + \varphi_u)$
 $i(t) = \hat{i} \cos(\omega t + \varphi_i) = I\sqrt{2} \cos(\omega t + \varphi_i)$

Komplexes Zeitsignal(Drehzeiger): $\underline{u}(t) = \hat{u} \exp(j(\omega t + \varphi_u))$,
 $u(t) = \Re(\underline{u}(t))$

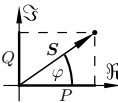
Scheitelwert \hat{u} , Effektivwert $U = \sqrt{\frac{1}{T} \int_0^T u^2(\tau) \, d\tau}$, bei Sinus
 $U = \frac{\hat{u}}{\sqrt{2}}$
Effektiver Zeiger: $\underline{U} = U \exp(j\varphi_u)$

$\underline{U} \cdot \sqrt{2} \exp(j\omega t) = \underline{u}(t)$

3.2 Komplexe Leistung

$P = \frac{1}{T} \int_0^T p(t) \, dt = \frac{1}{T} \int_0^T u(t) \cdot i(t) \, dt$
Wirkleistung $P = \Re(\underline{S}) = UI \cdot \cos(\varphi)$ [W]
Blindleistung $Q = \Im(\underline{S}) = UI \cdot \sin(\varphi)$ [Var]
Scheinleistung $S = U \cdot I = \sqrt{P^2 + Q^2}$ [VA]

Scheinleistung: $\underline{S} = \underline{U} \cdot \underline{I}^*$
 $||\underline{S}|| = S = \sqrt{P^2 + Q^2}$
Leistungsfaktor $\lambda = \frac{|P|}{S} = \cos(\varphi)$



Scheinleistung schwingt mit doppelter Netzfrequenz! $p(t) = P + S \cdot \cos(2\omega t + \varphi_u + \varphi_i)$
 $\underline{S} = \underline{U} \cdot \underline{I}$

Impedanz(Scheinwiderstand)	Admittanz(Scheinleitwert)
$\underline{Z} = R + jX = \exp(j\varphi_Z)$	$\underline{Y} = G + jB = \exp(j\varphi_Y)$
$Z(j\omega) = R(j\omega) + jX(j\omega)$	$Y(j\omega) = G(j\omega) + jB(j\omega)$
Impedanz Resistanz Reaktanz	Admittanz Konduktanz Suszeptanz
$\underline{U} = \underline{Z} \cdot \underline{I}$	$\underline{I} = \underline{Y} \cdot \underline{U}$

3.3 Drehstromsystem

Drehoperator: $\underline{a} = \exp(j\frac{2}{3}\pi)$ $\underline{a}^0 = \underline{a}^3 = 1$ $\underline{a}^* = \underline{a}^2$

Effektive Leiter-Erdspannungen: $\underline{U}_1, \underline{U}_2, \underline{U}_3$
Effektive Außenleiterspannungen: $\underline{U}_{12}, \underline{U}_{23}, \underline{U}_{31}$
symmetrischer Betrieb:
 $U = |U_1| = |U_2| = |U_3|$

Netzennspannung: $U_n = |U_{12}| = |U_{23}| = |U_{32}| = \sqrt{3}U$
Gesamte Leistung: $\underline{S} = \sqrt{3} \cdot \underline{U}_n \cdot \underline{I}^*$
bei symmetrischem Betrieb: $\underline{S} = 3 \cdot \underline{U} \cdot \underline{I}$
bei unsymmetrischem Betrieb:

$$\underline{S} = \underline{U}_1 \cdot \underline{I}_1^* + \underline{U}_2 \cdot \underline{I}_2^* + \underline{U}_3 \cdot \underline{I}_3^*$$

Komplexe Wechselleistung:

$$\underline{\tilde{S}} = \underline{U}_1 \cdot \underline{I}_1 + \underline{U}_2 \cdot \underline{I}_2 + \underline{U}_3 \cdot \underline{I}_3$$

Tatsächlicher Leistungsfluss:

$$p(t) = \text{Re} \left\{ \underline{S} \right\} + \text{Re} \left\{ \underline{\tilde{S}} e^{j2\omega t} \right\}$$

4 Elektrische Energieübertragung

4.1 Drehstromleitung

$$\begin{pmatrix} \underline{U}_1 \\ \underline{U}_2 \\ \underline{U}_3 \end{pmatrix} = \begin{pmatrix} \underline{Z}_d & \underline{Z}_k & \underline{Z}_k \\ \underline{Z}_k & \underline{Z}_d & \underline{Z}_k \\ \underline{Z}_k & \underline{Z}_k & \underline{Z}_d \end{pmatrix} \begin{pmatrix} \underline{I}_1 \\ \underline{I}_2 \\ \underline{I}_3 \end{pmatrix}$$

Im symmetrischen Betrieb kann im einphasigen ESB Z_b als Leitungsimpedanz eingesetzt werden: $\underline{Z}_b = \underline{Z}_d - \underline{Z}_k$

5 Elektrische Maschinen

können als Motoren oder Generatoren benutzt werden. ($\eta > 90\%$)
Besteht aus Stator(Ständer),Rotor(Läufer), Anker und Welle.
 n : Drehzahl; M : magn. Moment

5.1 Der Transformator

\hat{u}	Übersetzung
\hat{i}_r	Bemessungsübersetzung
U_{r1T}, U_{r2T}	Bemessungsspannungen
S_{rT}	Bemessungsleistung
U_K	Kurzschlussspannung
u_k	bezogene Kurzschlussspannung
u_r	bezogener Wirkspannungsabfall
P_{Cu}	Kupferverluste
P_{Fe}	Eisenverluste
Z_k	Kurzschlussimpedanz

Zur Berechnung wird oft \hat{i}_r anstelle von \hat{i} eingesetzt, da ersteres meist unbekannt ist. Die Bemessungsübersetzung findet sich aber auf dem Type-

$\underline{U}^b = \hat{u} \underline{U}$

$\underline{I}^b = \frac{1}{\hat{u}} \underline{I}$

$\underline{Z}^b = \hat{u}^2 \underline{Z}$

$\hat{u} = \frac{W_1}{W_2}$

$\hat{i}_r = \frac{\underline{U}_{r1T}}{\underline{U}_{r2T}}$

$u_k = \frac{\underline{U}_K}{\underline{U}_{r1T}}$

$Z_k = u_k \frac{\underline{U}_{r1T}^2}{S_{rT}}$

$u_r = \frac{\underline{U}_r T}{\underline{U}_{r1T}}$

$R_k = P_{Cu} \left(\frac{\underline{U}_{r1T}}{S_{rT}} \right)^2$

$R_k = u_r \frac{\underline{U}_{r1T}^2}{S_{rT}}$

$$Z_k = \sqrt{R_k^2 + X_k^2}$$

$$R_{Fe} = \frac{U_{r1T}^2}{P_{Fe}}$$

$$I_{W0} = \frac{P_{Fe}}{\sqrt{3} U_{r1T}}$$

$$I_h = \sqrt{I_{10}^2 - I_{W0}^2}$$

$$X_h = \frac{U_{r1T}}{\sqrt{3} I_h}$$

5.2 Gleichstrommaschine

p	Polpaarzahl
z	Anzahl der Schaltstufen
λ	Schaltverhältnis
U	Ankerklemmenspannung
U_i	Im Anker induzierte Spannung
K_1, K_2	Maschinenkonstanten
Φ	magnetischer Fluss durch den Anker
I_A	Ankerstrom
R_A	Widerstand der Ankerwicklungen
I_E	Erregerstrom

5.2.1 Grundgleichungen

$U = U_i + (R_A + R_v) I_A = U_i + R I$
 $U_i = K_1 \Phi n$
 $M = K_2 \Phi I_A$
 $\Phi = f(I_E)$
falls verlustfrei: $K_1 = 2\pi K_2$
 $n = \frac{U}{K_1 \cdot \Phi} - \frac{R}{K_1 \cdot K_2 \cdot \Phi^2} M$

5.2.2 Anlaufen mit Vorwiderständen

$R_{A,z-1} = R_A + R_{V1}, R_{A,z-1} = R_A + R_{V1} + R_{V2}, \dots$
 $R_{A,0} = R_A + R_{V1} + \dots + R_{Vz}$
 $\lambda = \frac{M_{max}}{M_{min}} = \frac{R_{A,Z-1}}{R_{A,Z}}$
 $z = \log_{\lambda} \frac{R_{A0}}{R_A}$

5.2.3 Fremderregt

$n_0 = \frac{U}{K_1 \Phi}$

$M_A = \frac{U K_2 \Phi}{R}$

$n = n_0 - n_0 \frac{M}{M_A}$

5.2.4 Reihenschluss

$M = \frac{K_2 \Phi^2}{K_3}$
 $n = \frac{U}{\sqrt{2\pi K_1 K_2}} \frac{1}{\sqrt{M}} - \frac{R}{K_1 K_2}$

5.3 Synchronmaschine

Synchrone Reaktanz $X_d = \omega \cdot (L_h + L_\sigma)$
 $X_d \cdot I_w = U_p \sin(\vartheta_M)$

$X_d = x_d \frac{U_r^2}{S_r}$

Übererregung	Untererregung
SMA wirkt wie Kapazität gibt induktive Blindleistung ab	SMA wirkt wie Induktivität nimmt induktive Blindleistung auf

5.4 Asynchronmaschine

Bemessungsmoment $M_r = \frac{P_r}{2\pi n_r}$

Kloss'sche Gleichung $M = \frac{2M_k \cdot s \cdot s_k}{s^2 + s_k^2}$

Kippmoment M_k ; Betrieb bei ca. $\frac{2}{3} M_k \Rightarrow \vartheta_M < 42^\circ$

5.5 Asynchronmaschine

$s = \frac{n_0 - n}{n_0}$

$M = \frac{3}{2\pi n_0} \frac{I^2 R_l}{s}$

$n_0 = \frac{f}{p}$

$M = \frac{2M_k}{\frac{s_-}{s_k} + \frac{s_k}{s}}$

Anlauf nur möglich falls $M_A < M_{an}$

Feldschwächung: $\Phi_M \propto \frac{U_{st,r}}{f_{st,r}}$

U kann nicht beliebig erhöht werden \Rightarrow Fluss wird kleiner \Rightarrow Moment wird kleiner.

5.6 elektrische Energieübertragung

Freileiter oder Erdleiter:

- Erdkabel-Isolierung: Papier mit Öl getränkt oder vernetztes PE
- Erdakabel bei gleicher Übertragung etwa 4 – 7 mal teurer.
- Störungen bei Freileitern leichter lokalisierbar und behebbar.

Längsimpedanzen (KS) und Queradmittanzen (LL)

U_n	Leitung	Leiter	R	$X'_b = \omega L'_b$	$Y_b = \omega C'_b$
30kV	FL	Al/St 95/15	0.30	0.37	

$\underline{U}_{12} = \Delta U + j\delta U$
meist $R \ll \omega L_b \Rightarrow \underline{U}_{12} = \omega L_b (I_w + I_b)$

Phasenkonstante $\beta = 2\pi f \frac{\sqrt{\epsilon_r}}{c_0}$ $\beta(FL) \approx \frac{6^\circ}{100km}$

	\underline{Z}_l	$\frac{\underline{Y}_g}{2}$
el. lange Leitung	$j\underline{Z}_w \sin(\beta l)$	$\frac{\cos(\beta l) - 1}{j\underline{Z}_w \sin(\beta l)}$
el. kurze Leitung	$j\omega L'_b l$	$\frac{j\omega C'_b l}{2}$

natürlicher Betrieb($\underline{Z}_2 = \underline{Z}_w$): Blindleistungsggw

5.7 Vereinfachte Leitungsbetrachtung

Vernachlässigung von Queradmittanzen $\Rightarrow I_{in} = I_{out}$
Längsspannungsabfall: $\Delta U = R \cdot I_w + \omega L_b I_b$
Querspannungsabfall: $\delta U = \omega L_b I_w - R I_b$
Leitungswinkel: $\vartheta = \varphi_{U1} - \varphi_{U2}$